

$^{238}\text{U}(^{12}\text{C},\text{x}\gamma)$     **2002Lu15**

Type	History		
Full Evaluation	Author	Citation	Literature Cutoff Date
	Jean Blachot	ENSDF	1-Mar-2009

Includes  $^{208}\text{Pb}(^{18}\text{O},\text{X}\gamma)$  and  $^{176}\text{Yb}(^{31}\text{P},\text{X}\gamma)$  reactions.

$^{238}\text{U}(^{12}\text{C},\text{X}\gamma)$  E= 90 MeV;  $^{208}\text{Pb}(^{18}\text{O},\text{X}\gamma)$  E= 85 MeV;  $^{176}\text{Yb}(^{31}\text{P},\text{X}\gamma)$  E=152 MeV. Measured  $E\gamma$ ,  $I\gamma$ ,  $\gamma\gamma$  using EUROBALL III array of 15 cluster Ge detectors, 26 clover Ge detectors, and 30 tapered single-crystal Ge detectors.

 $^{117}\text{In}$  Levels

E(level) <sup>†</sup>	J <sup>π</sup>	Comments
0.0 <sup>‡</sup>	9/2 <sup>+</sup>	
659@	3/2 <sup>+</sup>	E(level): not populated in this study. See ENSDF for $^{117}\text{In}$ for details about this level.
748.0@ 10	7/2 <sup>+</sup>	
1066.0 9	(11/2 <sup>+</sup> )	
1209.0@ 15	(11/2 <sup>+</sup> )	
1235.0 <sup>‡</sup> 9	(13/2 <sup>+</sup> )	
1898.0@ 18	(15/2 <sup>+</sup> )	
2124.4# 13	(15/2 <sup>-</sup> )	
2261.8# 14	(17/2 <sup>-</sup> )	
2263.8 <sup>‡</sup> 12	(17/2 <sup>+</sup> )	
2430.2# 14	(19/2 <sup>-</sup> )	
2446.8 12	(17/2 <sup>+</sup> )	
2622.2# 17	(21/2 <sup>-</sup> )	
2670.6 <sup>‡</sup> 13	(21/2 <sup>+</sup> )	
2727.0@ 20	(19/2 <sup>+</sup> )	
2731.6 <sup>‡</sup> 16	(23/2 <sup>+</sup> )	
2837.6 <sup>‡</sup> 19	(25/2 <sup>+</sup> )	
2857.2# 20	(23/2 <sup>-</sup> )	
3031.2# 22	(25/2 <sup>-</sup> )	
3192.2 <sup>‡</sup> 22	(27/2 <sup>+</sup> )	
3559.5# 24	(27/2 <sup>-</sup> )	
3727.2 <sup>‡</sup> 25	(29/2 <sup>+</sup> )	
4187.9# 24	(29/2 <sup>-</sup> )	

<sup>†</sup> From least-squares fit to  $E\gamma$ 's , assuming  $\Delta(E\gamma)= 1$  keV for each  $\gamma$  ray.<sup>‡</sup> Band(A):  $\pi g_{9/2}^{-1} \nu h_{11/2}^2$ .# Band(B):  $\pi g_{9/2}^{-1} \nu h_{11/2}^1 (\nu(d_{5/2}) \text{ and/or } g_{7/2})^1$ .@ Band(C):  $\pi 1/2[431]$  from  $\pi(g_{7/2} \text{ and/or } d_{5/2})$ . $\gamma(^{117}\text{In})$ 

E $\gamma$	E $l$ (level)	J $^\pi_l$	E $f$	J $^\pi_f$
61 <sup>‡</sup>	2731.6	(23/2 <sup>+</sup> )	2670.6 (21/2 <sup>+</sup> )	
106 <sup>‡</sup>	2837.6	(25/2 <sup>+</sup> )	2731.6 (23/2 <sup>+</sup> )	
137 <sup>‡</sup>	2261.8	(17/2 <sup>-</sup> )	2124.4 (15/2 <sup>-</sup> )	
168 <sup>‡</sup>	2430.2	(19/2 <sup>-</sup> )	2261.8 (17/2 <sup>-</sup> )	
169	1235.0	(13/2 <sup>+</sup> )	1066.0 (11/2 <sup>+</sup> )	

Continued on next page (footnotes at end of table)

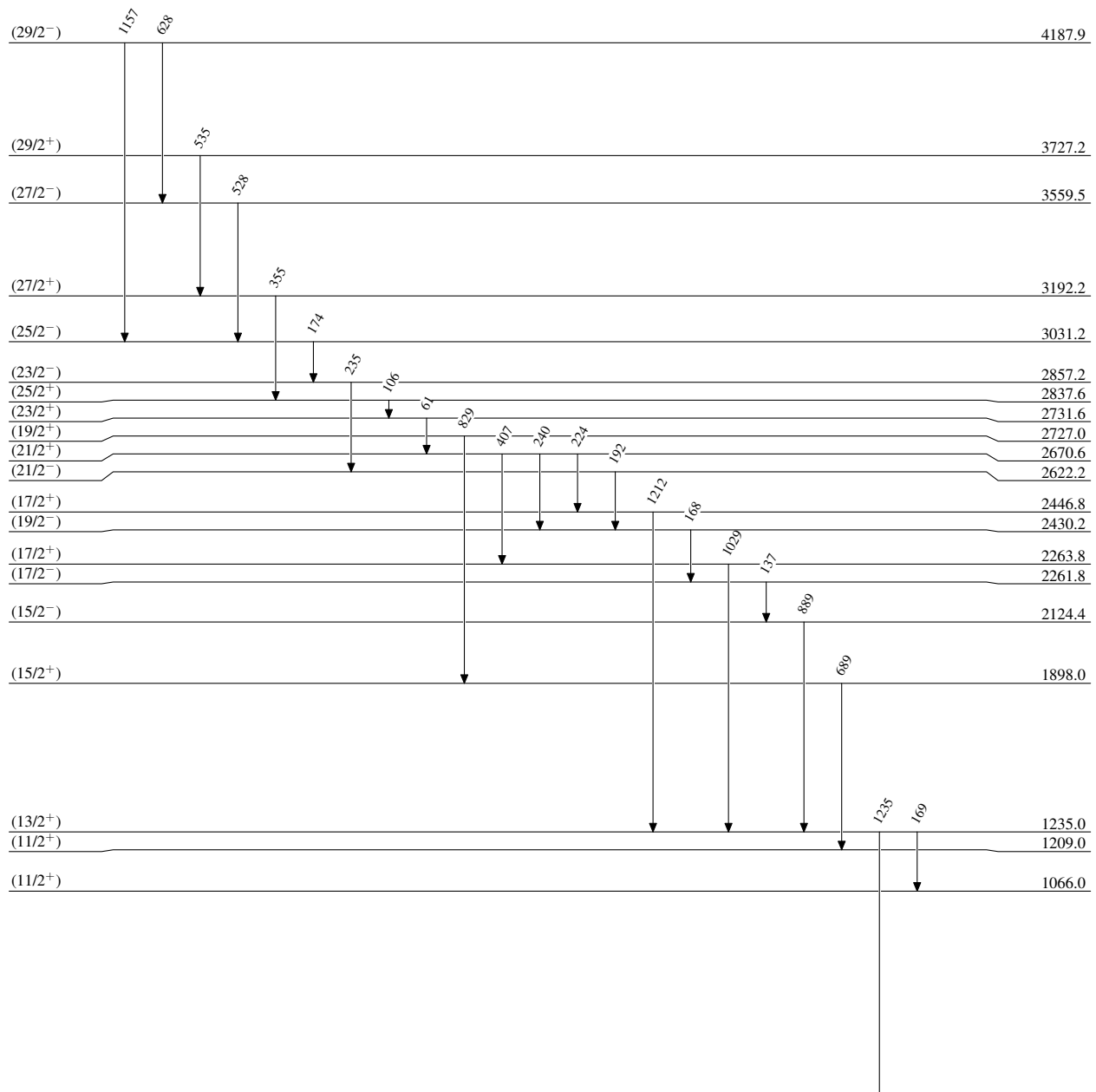
$^{238}\text{U}(\text{C},\text{x}\gamma)$  **2002Lu15 (continued)** $\gamma(^{117}\text{In})$  (continued)

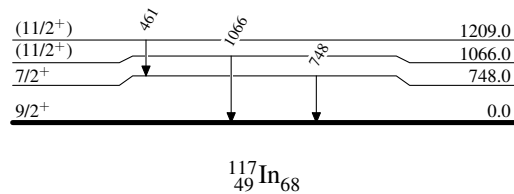
$E_\gamma$	$E_i(\text{level})$	$J_i^\pi$	$E_f$	$J_f^\pi$	$E_\gamma$	$E_i(\text{level})$	$J_i^\pi$	$E_f$	$J_f^\pi$
174 <sup>‡</sup>	3031.2	(25/2 <sup>-</sup> )	2857.2	(23/2 <sup>-</sup> )	628	4187.9	(29/2 <sup>-</sup> )	3559.5	(27/2 <sup>-</sup> )
192 <sup>†</sup>	2622.2	(21/2 <sup>-</sup> )	2430.2	(19/2 <sup>-</sup> )	689	1898.0	(15/2 <sup>+</sup> )	1209.0	(11/2 <sup>+</sup> )
224	2670.6	(21/2 <sup>+</sup> )	2446.8	(17/2 <sup>+</sup> )	748 <sup>‡</sup>	748.0	7/2 <sup>+</sup>	0.0	9/2 <sup>+</sup>
235 <sup>†</sup>	2857.2	(23/2 <sup>-</sup> )	2622.2	(21/2 <sup>-</sup> )	829	2727.0	(19/2 <sup>+</sup> )	1898.0	(15/2 <sup>+</sup> )
240 <sup>†</sup>	2670.6	(21/2 <sup>+</sup> )	2430.2	(19/2 <sup>-</sup> )	889 <sup>†</sup>	2124.4	(15/2 <sup>-</sup> )	1235.0	(13/2 <sup>+</sup> )
355 <sup>‡</sup>	3192.2	(27/2 <sup>+</sup> )	2837.6	(25/2 <sup>+</sup> )	1029 <sup>‡</sup>	2263.8	(17/2 <sup>+</sup> )	1235.0	(13/2 <sup>+</sup> )
407 <sup>‡</sup>	2670.6	(21/2 <sup>+</sup> )	2263.8	(17/2 <sup>+</sup> )	1066	1066.0	(11/2 <sup>+</sup> )	0.0	9/2 <sup>+</sup>
461	1209.0	(11/2 <sup>+</sup> )	748.0	7/2 <sup>+</sup>	1157	4187.9	(29/2 <sup>-</sup> )	3031.2	(25/2 <sup>-</sup> )
528	3559.5	(27/2 <sup>-</sup> )	3031.2	(25/2 <sup>-</sup> )	1212	2446.8	(17/2 <sup>+</sup> )	1235.0	(13/2 <sup>+</sup> )
535 <sup>‡</sup>	3727.2	(29/2 <sup>+</sup> )	3192.2	(27/2 <sup>+</sup> )	1235 <sup>†</sup>	1235.0	(13/2 <sup>+</sup> )	0.0	9/2 <sup>+</sup>

<sup>†</sup> Strong transition.<sup>‡</sup> Medium-intensity transition.

**238U(12C,xγ) 2002Lu15**

### Level Scheme



$^{238}\text{U}(^{12}\text{C},\text{x}\gamma)$     2002Lu15Level Scheme (continued) $^{117}_{49}\text{In}_{68}$

$^{238}\text{U}(\text{C},\text{x}\gamma)$  2002Lu15